

sad-L1-hw

Yixiao Feng

16/05/2023

1 分别使用左右扰动模型，计算： $\frac{\partial \mathbf{R}^{-1} \mathbf{p}}{\partial \mathbf{R}}$

1.a 左扰动

$$\begin{aligned}
\frac{\partial \mathbf{R}^{-1} \mathbf{p}}{\partial \mathbf{R}} &= \frac{\partial ((\text{Exp}(\phi) \mathbf{R})^{-1} \mathbf{p} - \mathbf{R}^{-1} \mathbf{p})}{\partial \phi} \\
&= \frac{\partial (\mathbf{R}^{-1} \text{Exp}(\phi)^{-1} \mathbf{p} - \mathbf{R}^{-1} \mathbf{p})}{\partial \phi} \\
&= \frac{\partial (\mathbf{R}^{-1} \text{Exp}(-\phi) \mathbf{p} - \mathbf{R}^{-1} \mathbf{p})}{\partial \phi} \\
&= \frac{\partial (\mathbf{R}^{-1} (\mathbf{I} - \phi^\wedge) \mathbf{p} - \mathbf{R}^{-1} \mathbf{p})}{\partial \phi} \\
&= \frac{\partial (-\mathbf{R}^{-1} \phi^\wedge \mathbf{p})}{\partial \phi} \\
&= \frac{\partial \mathbf{R}^{-1} \mathbf{p}^\wedge \phi}{\partial \phi} \\
&= \mathbf{R}^{-1} \mathbf{p}^\wedge
\end{aligned} \tag{1}$$

1.b 右扰动

$$\begin{aligned}
\frac{\partial \mathbf{R}^{-1} \mathbf{p}}{\partial \mathbf{R}} &= \frac{\partial ((\mathbf{R} \text{Exp}(\phi))^{-1} \mathbf{p} - \mathbf{R}^{-1} \mathbf{p})}{\partial \phi} \\
&= \frac{\partial (\text{Exp}(\phi)^{-1} \mathbf{R}^{-1} \mathbf{p} - \mathbf{R}^{-1} \mathbf{p})}{\partial \phi} \\
&= \frac{\partial (\text{Exp}(-\phi) \mathbf{R}^{-1} \mathbf{p} - \mathbf{R}^{-1} \mathbf{p})}{\partial \phi} \\
&= \frac{(\mathbf{I} - \phi^\wedge) \mathbf{R}^{-1} \mathbf{p} - \mathbf{R}^{-1} \mathbf{p}}{\partial \phi} \\
&= \frac{\partial (-\phi^\wedge \mathbf{R}^{-1} \mathbf{p})}{\partial \phi} \\
&= \frac{\partial (\mathbf{R}^{-1} \mathbf{p})^\wedge \phi}{\partial \phi} \\
&= (\mathbf{R}^{-1} \mathbf{p})^\wedge
\end{aligned} \tag{2}$$

2 分别使用左右扰动模型，计算： $\frac{\partial \mathbf{R}_1 \mathbf{R}_2^{-1}}{\partial \mathbf{R}_2}$

2.a 左扰动

$$\begin{aligned}
\frac{\partial \text{Log}(\mathbf{R}_1 \mathbf{R}_2^{-1})}{\partial \mathbf{R}_2} &= \frac{\partial \text{Log}(\mathbf{R}_1 (\text{Exp}(\phi) \mathbf{R}_2)^{-1}) - \text{Log}(\mathbf{R}_1 \mathbf{R}_2^{-1})}{\partial \phi} \\
&= \frac{\partial \text{Log}(\mathbf{R}_1 \mathbf{R}_2^{-1} \text{Exp}(\phi)^{-1}) - \text{Log}(\mathbf{R}_1 \mathbf{R}_2^{-1})}{\partial \phi} \\
&= \frac{\partial \text{Log}(\mathbf{R}_1 \mathbf{R}_2^{-1} \text{Exp}(-\phi)) - \text{Log}(\mathbf{R}_1 \mathbf{R}_2^{-1})}{\partial \phi} \\
&\stackrel{BCH}{=} \frac{\partial \text{Log}(\mathbf{R}_1 \mathbf{R}_2^{-1}) - \mathbf{J}_r^{-1}(\text{Log}(\mathbf{R}_1 \mathbf{R}_2^{-1})) \phi - \text{Log}(\mathbf{R}_1 \mathbf{R}_2^{-1})}{\partial \phi} \\
&= \mathbf{J}_r^{-1}(\text{Log}(\mathbf{R}_1 \mathbf{R}_2^{-1}))
\end{aligned} \tag{3}$$

2.b 右扰动

$$\begin{aligned}
\frac{\partial \text{Log}(\mathbf{R}_1 \mathbf{R}_2^{-1})}{\partial \mathbf{R}_2} &= \frac{\partial \text{Log}(\mathbf{R}_1 (\mathbf{R}_2 \text{Exp}(\phi))^{-1}) - \text{Log}(\mathbf{R}_1 \mathbf{R}_2^{-1})}{\partial \phi} \\
&= \frac{\partial \text{Log}(\mathbf{R}_1 \text{Exp}(\phi)^{-1} \mathbf{R}_2^{-1}) - \text{Log}(\mathbf{R}_1 \mathbf{R}_2^{-1})}{\partial \phi} \\
&= \frac{\partial \text{Log}(\mathbf{R}_1 \text{Exp}(-\phi) \mathbf{R}_2^{-1}) - \text{Log}(\mathbf{R}_1 \mathbf{R}_2^{-1})}{\partial \phi} \\
&= \frac{\partial \text{Log}(\mathbf{R}_1 \mathbf{R}_2^{-1} \mathbf{R}_2 \text{Exp}(-\phi) \mathbf{R}_2^\top) - \text{Log}(\mathbf{R}_1 \mathbf{R}_2^{-1})}{\partial \phi} \\
&\stackrel{\text{adjoint}}{=} \frac{\partial \text{Log}(\mathbf{R}_1 \mathbf{R}_2^{-1} \text{Exp}(-\mathbf{R}_2 \phi)) - \text{Log}(\mathbf{R}_1 \mathbf{R}_2^{-1})}{\partial \phi} \\
&\stackrel{BCH}{=} \frac{\partial \text{Log}(\mathbf{R}_1 \mathbf{R}_2^{-1}) \mathbf{J}_r^{-1} (\text{Log}(\mathbf{R}_1 \mathbf{R}_2^{-1})) \mathbf{R}_2 \phi - \text{Log}(\mathbf{R}_1 \mathbf{R}_2^{-1})}{\partial \phi} \\
&= \mathbf{J}_r^{-1} (\text{Log}(\mathbf{R}_1 \mathbf{R}_2^{-1})) \mathbf{R}_2
\end{aligned} \tag{4}$$

3 带一定角速度的平抛运动实现

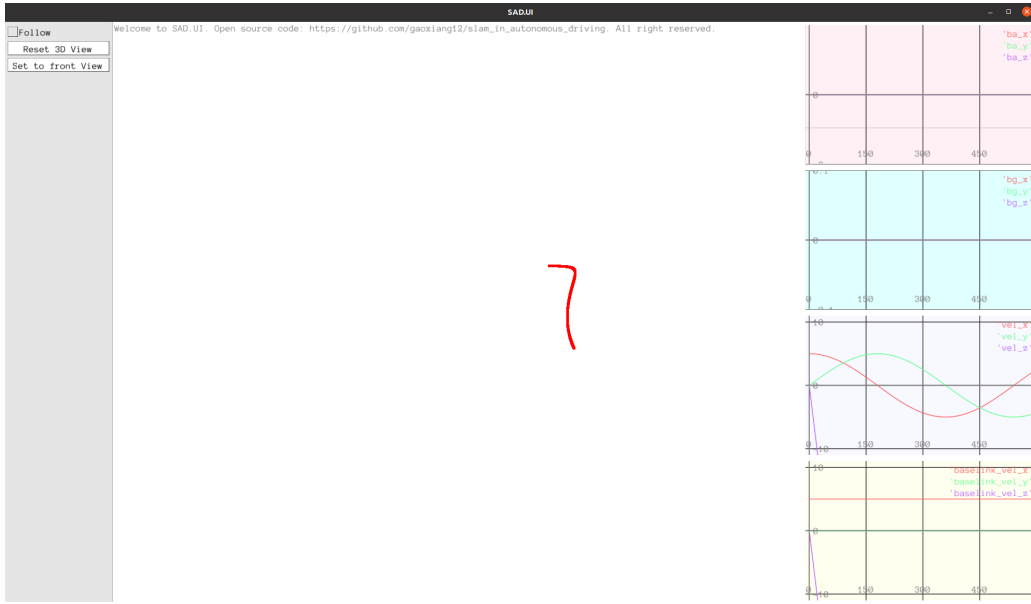


图 1: 可视化效果

```

double angular_velocity_rad = FLAGS_angular_velocity * sad::math::kDEG2RAD; // 弧度制角速度
SE3 pose; // TWB表示的位姿
Vec3d omega(x: 0, y: 0, z: angular_velocity_rad); // 角速度矢量
Vec3d v_body(x: FLAGS_linear_velocity, y: 0, z: 0); // 本体速度
Vec3d a_world(x: 0, y: 0, z: -9.8); // 重力加速度
const double dt = 0.05; // 每次更新的时间

while (ui.ShouldQuit() == false) {
    // 更新自身位置
    Vec3d v_world = pose.so3() * v_body;
    pose.translation() = pose.translation() + v_world * dt + 0.5 * a_world * dt * dt;
    // 更新速度
    v_body += a_world * dt;
}

```

图 2: 代码实现

定义重力加速度, 用 $\mathbf{v} = \mathbf{v} + \mathbf{a}t$ 更新速度矢量。世界坐标系下的位移需要讨论重力加速度的影响, 即 $\frac{1}{2}\mathbf{a}t^2$ 。动画在压缩包附件里。

4 高斯牛顿法和 LM 法的差异

高斯牛顿方程:

$$\begin{aligned} \mathbf{J}(\mathbf{x})^\top \mathbf{J}(\mathbf{x}) \Delta \mathbf{x} &= -\mathbf{J}(\mathbf{x})^\top \mathbf{f}(\mathbf{x}) \\ \mathbf{H} \Delta \mathbf{x} &= -\mathbf{g} \\ \Delta \mathbf{x} &= \mathbf{H}^{-1}(-\mathbf{g}) \end{aligned} \quad (5)$$

高斯牛顿法的增量方程中, $\mathbf{J}(\mathbf{x})^\top \mathbf{J}(\mathbf{x})$ 的计算起到了重要的作用, 它必须是可逆的, 然而实际计算中 $\mathbf{J}(\mathbf{x})^\top \mathbf{J}(\mathbf{x})$ 只是半正定的。换句话说, $\mathbf{J}(\mathbf{x})^\top \mathbf{J}(\mathbf{x})$ 可能是奇异矩阵, 这时增量方程的鲁棒性较差, 可能出现 ill-posed, 算法不收敛的情况。

LM 法比高斯牛顿法更鲁棒, 但是收敛速度较慢。LM 法对高斯牛顿法中二阶泰勒展开的近似设定了一个信赖域 (Trust Region), 在这个信赖域里, 我们认为二阶近似是准确的。LM 法中, 给出了一个分式用来判断近似是否够好, 该式如下:

$$\rho = \frac{\mathbf{f}(\mathbf{x} + \Delta \mathbf{x}) - \mathbf{f}(\mathbf{x})}{\mathbf{J}(\mathbf{x}) \Delta \mathbf{x}} \quad (6)$$

分子用来表示实际函数下降的值, 分母表示近似模型下降的值。如果 ρ 接近 1, 说明近似较好; 如果 ρ 太小, 说明实际减小的值远小于近似减小的值, 认为近似较差; 如果 ρ 较大, 说明实际下降的值大于近似的值, 可以扩大一些信赖域。

LM 法的优化问题:

$$\min_{\Delta \mathbf{x}_k} \frac{1}{2} \|\mathbf{f}(\mathbf{x}_k) + \mathbf{J}(\mathbf{x}_k) \Delta \mathbf{x}_k\|^2, \quad s.t. \|\mathbf{D} \Delta \mathbf{x}_k\|^2 \leq \mu \quad (7)$$

具体修正信赖域大小的方式是这样的: 若 $\rho > \frac{3}{4}$, 则 $\mu = 2\mu$; 若 $\rho < \frac{1}{4}$, 则 $\mu = 0.5\mu$ 。

无约束优化问题, 引入拉格朗日算子:

$$\min_{\Delta \mathbf{x}_k} \frac{1}{2} \|\mathbf{f}(\mathbf{x}_k) + \mathbf{J}(\mathbf{x}_k) \Delta \mathbf{x}_k\|^2 + \frac{\lambda}{2} \|\mathbf{D} \Delta \mathbf{x}_k\|^2 \quad (8)$$

LM 法增量方程:

$$(\mathbf{H} + \lambda \mathbf{I}) \Delta \mathbf{x} = \mathbf{g} \quad (9)$$

从式(9)中, 当参数 λ 较小时, \mathbf{H} 占主要地位, 说明二阶近似在该信赖域内较好, LM 法接近于 GN 法。当参数 λ 较大时, 该式更接近一阶梯度下降法, 说明在附近近似不够好。LM 法一定程度上避免了奇异矩阵引起的不收敛问题, 提供更稳定的增量 $\Delta \mathbf{x}$ 。